

# **EVALUAREA PROBABILISTICĂ A COMPORTĂRII UNOR ELEMENTE SIMPLE DE BETON ARMAT**

Coordonator științific  
Conf. Dr. Ing. Ion Simulescu

Absolvent  
Ing. Dorina Vișan

# INTRODUCERE

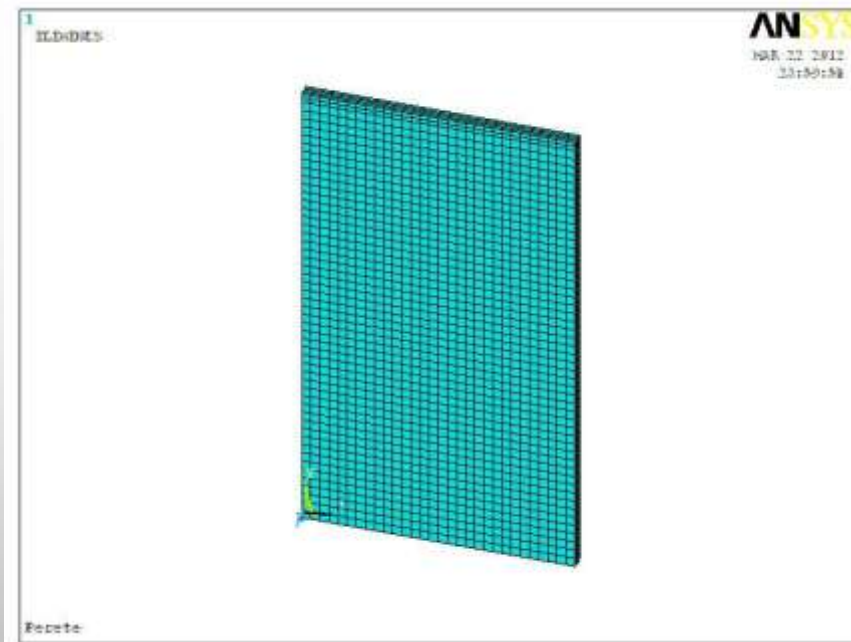
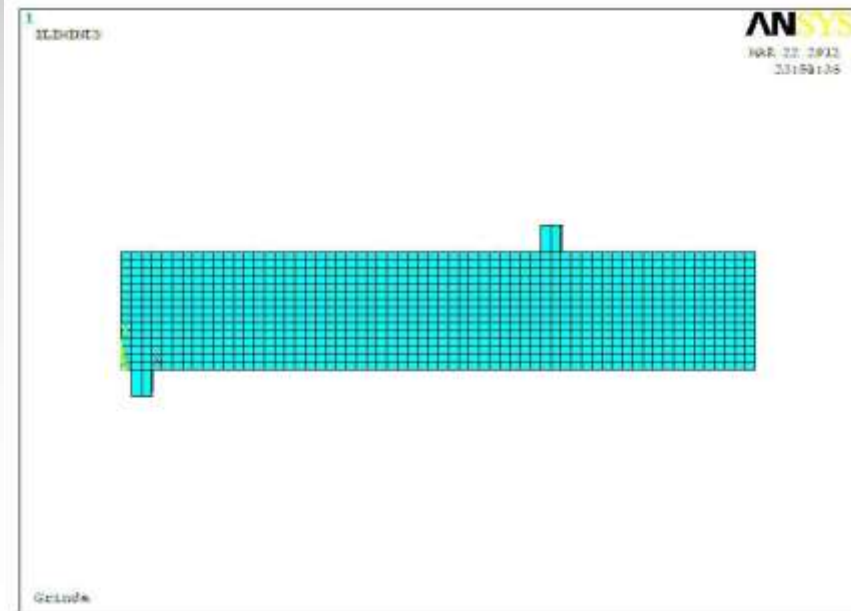
**Obiectiv:** Evaluarea probabilistica a comportarii unor elemente simple de beton armat .

Studiul a 2 elemente simple de beton armat:

- **Grinda simplu rezemata**
- **Difragma verticala**

Analiza numerica se realizeaza cu ajutorul programului **ANSYS [1]**.

- Cele 2 elemente structurale sunt incarcate cu forte monoton crescatoare si analizate pana la cedare.
- Parametri urmariti in analiza: forta de fisurare, forta la care se manifesta curgerea armaturii, forta ultima si deplasarea maxima



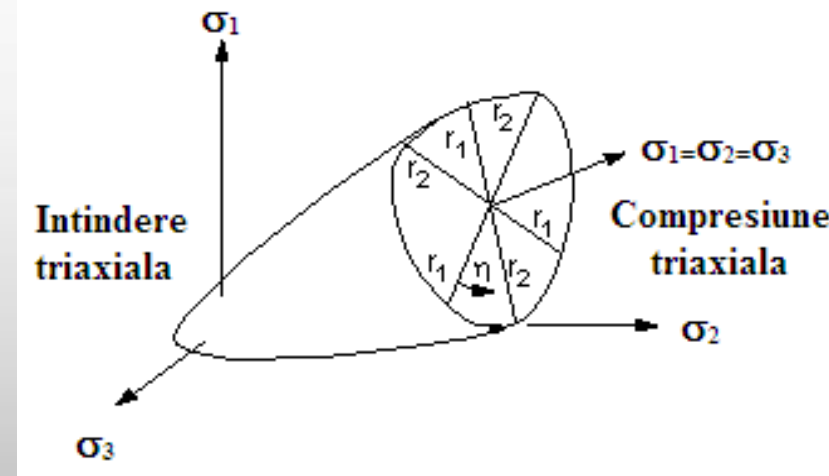
# MATERIALE

Materiale componente:

- **Beton simplu**-material fragil
- **Otel**-material ductil

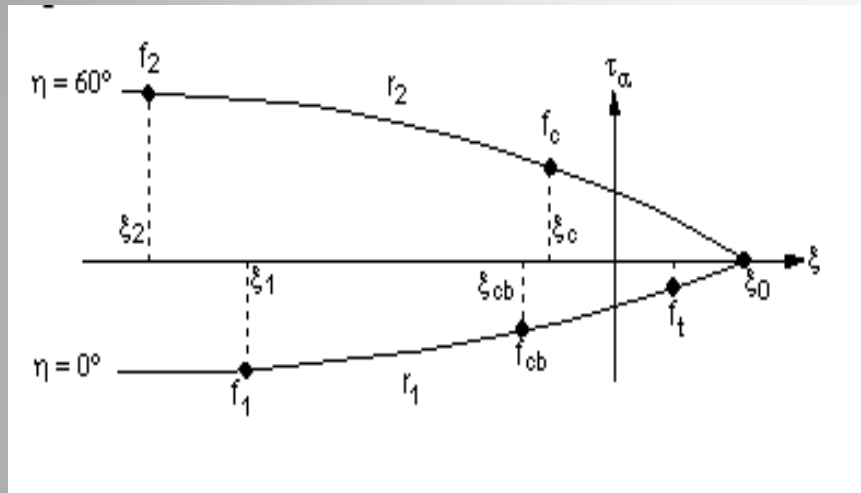
**Beton simplu:**

- **Criteriul de cedare Willam-Warnke [3]**
- Suprafata de cedare: con cu meridiane curbe si baza necirculara, iar in zona de intindere, forma tetraedrica
- Modelul depinde de 5 parametri: -  $f_t$ -rezistență ultimă la întindere monoaxială
  - $f_c$ - rezistență ultimă la compresiune monoaxială
  - $f_{cb}$ -rezistență ultimă la compresiune biaxială
  - $f_1$ -rezistență ultimă la compresiune biaxială suprapusă pe o tensiune hidrostatică  $\sigma_a$ ;
  - $f_2$ - rezistență ultimă la compresiune monoaxială suprapusă pe o tensiune hidrostatică  $\sigma_a$ .
- Conditia ce cedare:  $f(\sigma_a, \tau_a, \theta) = 0$
- Avantaje:-rezultate apropiate de cele experimentale
  - determinare simplă a parametrilor modelului
  - suprafata este continuă
  - curbele sunt netede și convexe

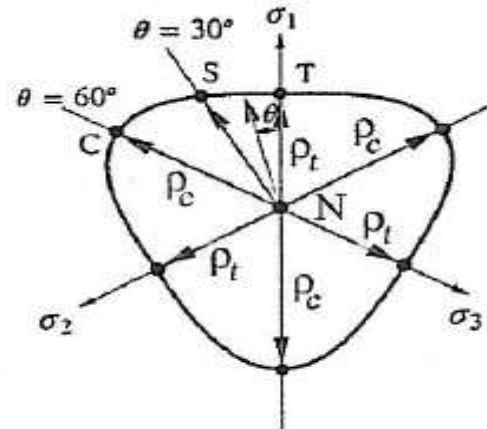


# MATERIALE(continuare)

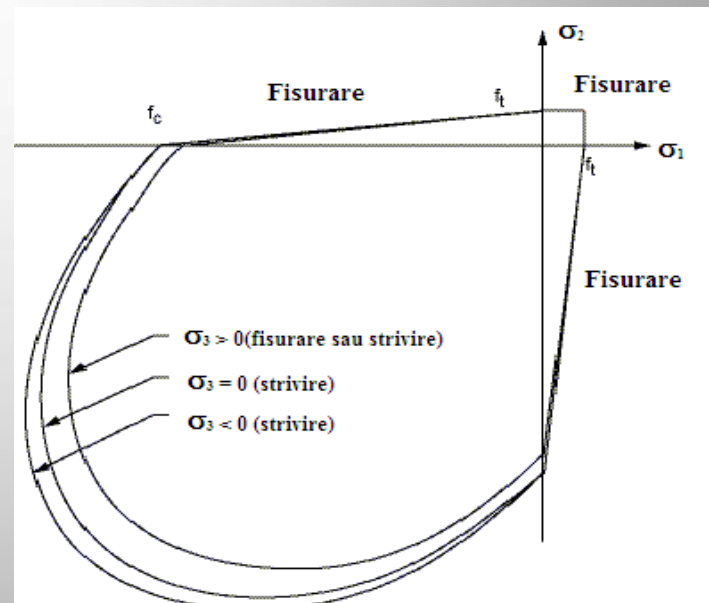
- Din intersecția suprafeței de cedare cu **planul deviator** ( $\xi = \xi_0 = \text{constant}$ ), rezultă o curbă de cedare.



- În cazul în care  $\sigma_3$  este aproximativ egal cu 0, se poate proiecta în planul  $\sigma_1-\sigma_2$  suprafața de cedare, observându-se posibilitățile de cedare prin fisurare excesivă sau prin strivire



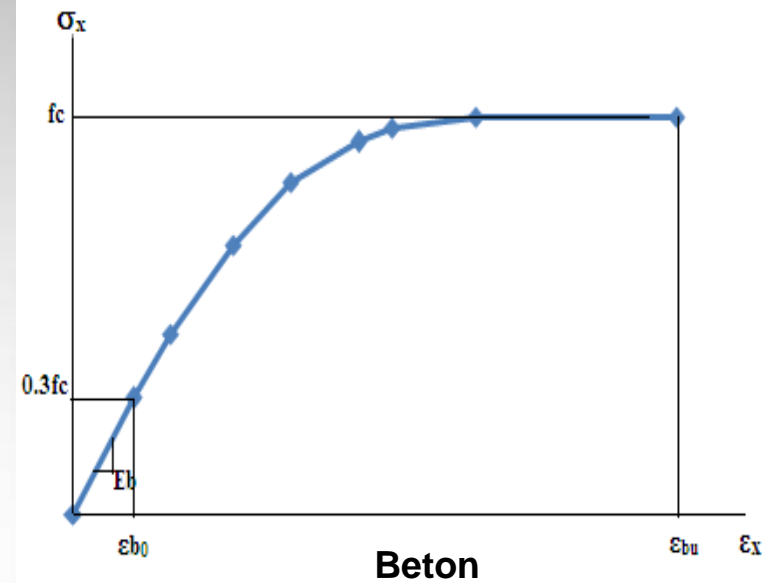
- Curbele obținute din intersecția suprafeței de cedare cu planul  $\theta = \text{constant}$  trecând prin axa hidrostatică, se numesc **meridiane**.



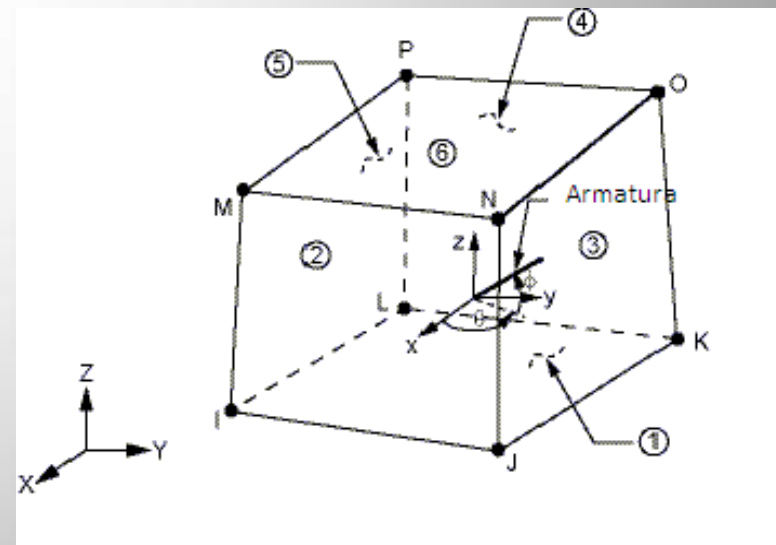
# MATERIALE(continuare)

- Comportarea neliniara a betonului se modeleaza cu relatiile lui Macgregor:

$$f = \frac{E_c \cdot \varepsilon}{1 + (\frac{\varepsilon}{\varepsilon_0})^2}$$
$$\varepsilon_0 = \frac{2 \cdot f_c}{E_c}$$
$$E_c = \frac{f}{\varepsilon}$$



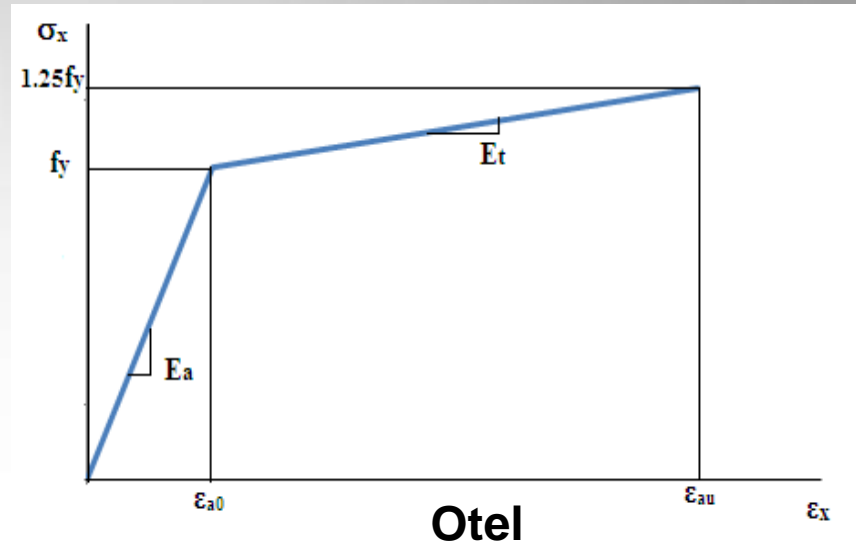
- Pentru discretizarea betonului a fost folosit elementul finit **SOLID 65**.
- SOLID 65 este caracterizat de 8 noduri, cu 3 grade de libertate pe nod.
- Acest element finit este capabil de fisurare in 3 directii ortogonale si rupere prin strivire. [1]



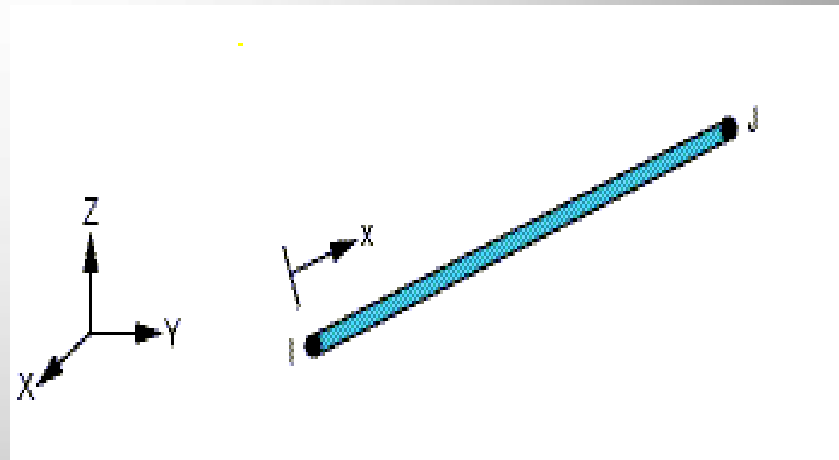
# MATERIALE(continuare)

## Otel beton:

- Model de comportare biliniar
- Prezinta comportare similara in intindere si compresiune
- Caracterizat de  $E_a$  ,  $E_t$  si  $f_y$



- Pentru discretizarea otelului beton a fost folosit elementul finit **LINK 8**.
- LINK8 este un element de bara 3D axial deformata,cu 2 noduri si 3 grade de libertate pe nod. [1]



# GRINDA DE BETON ARMAT

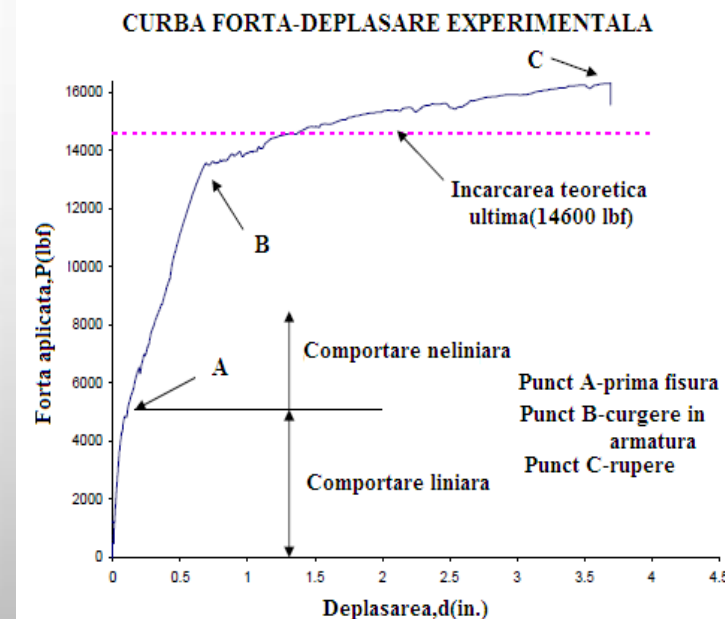
- Este folosita pentru calibrarea modelului, asadar corespunde unui experiment de laborator raportat de Buckhouse [2] in 1997

## GRINDA EXPERIMENTALA

- Dimensiuni: 254x457.2mm, lungime 5638.4mm.
- Armare: 3Φ5 armatura longitudinala si etrieri Φ3/200mm.
- Acoperirea cu beton a armaturii : 50.8 mm.
- Limita de curgere a otelului :  $f_y=413.7$  MPa.
- Rezistenta la compresiune a betonului:  $f_{cd}=33.1$  MPa.
- Incarcare: 2 forte concentrate monoton crescatoare situate la distanta 1524 mm de reazeme.

## Rezultate:

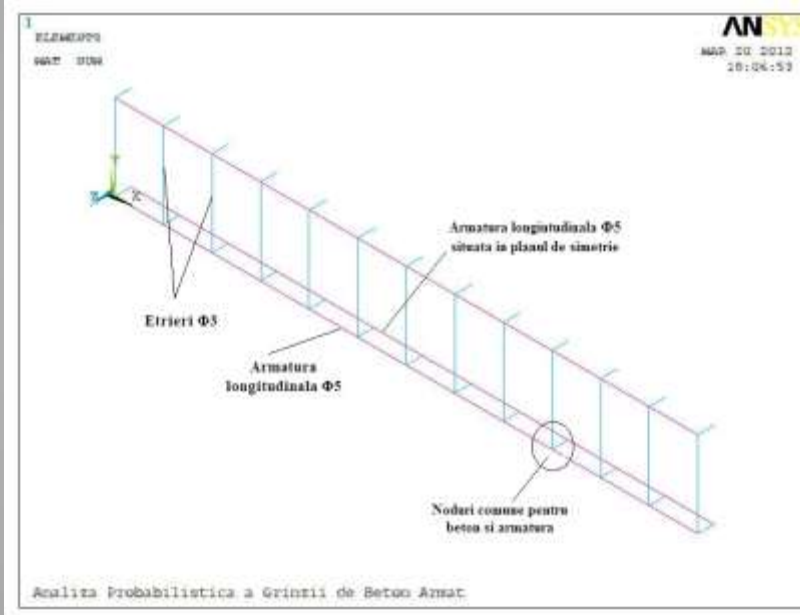
- Primele fisuri :  $P=20$  kN
- Intrarea in curgere a armaturii longitudinale :  $P= 60$  kN
- Cedarea : $P=73$  kN



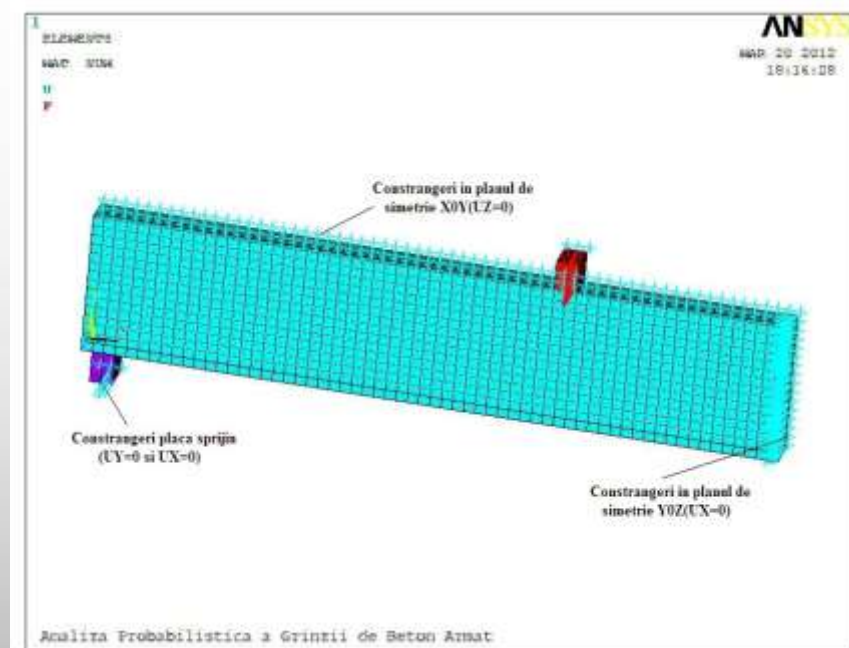
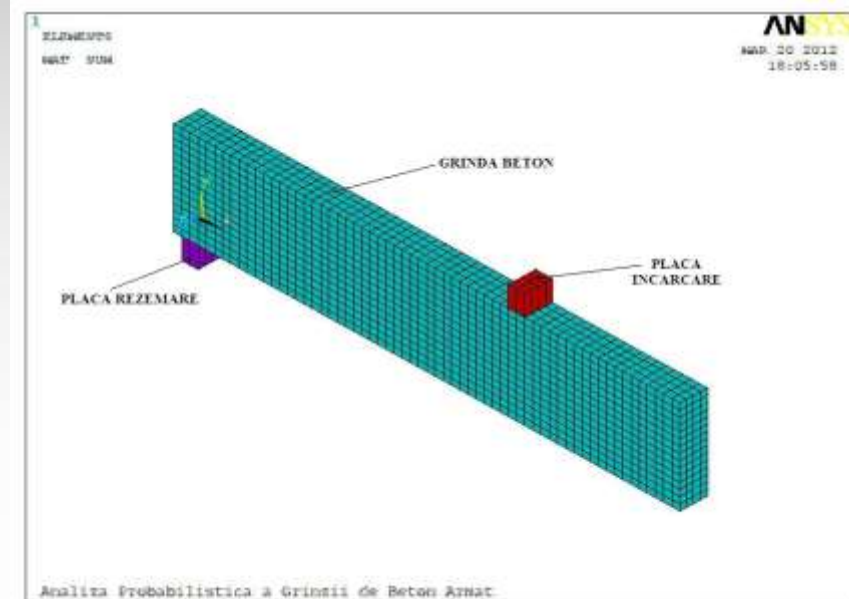
# GRINDA DE BETON ARMAT(continuare)

## GRINDA ANALITICA

- Datorita simetriei longitudinale si transversale, se modeleaza  $\frac{1}{4}$  din grinda
- Elemente finite: beton-SOLID 65,armatura-LINK 8, placi de incarcare si rezemare SOLID 45 [1]



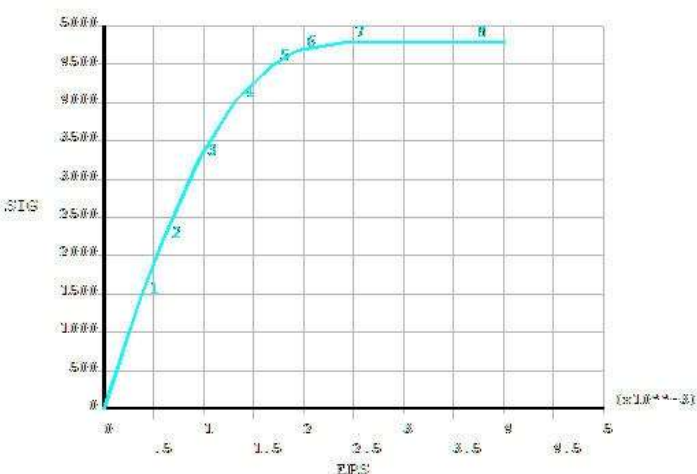
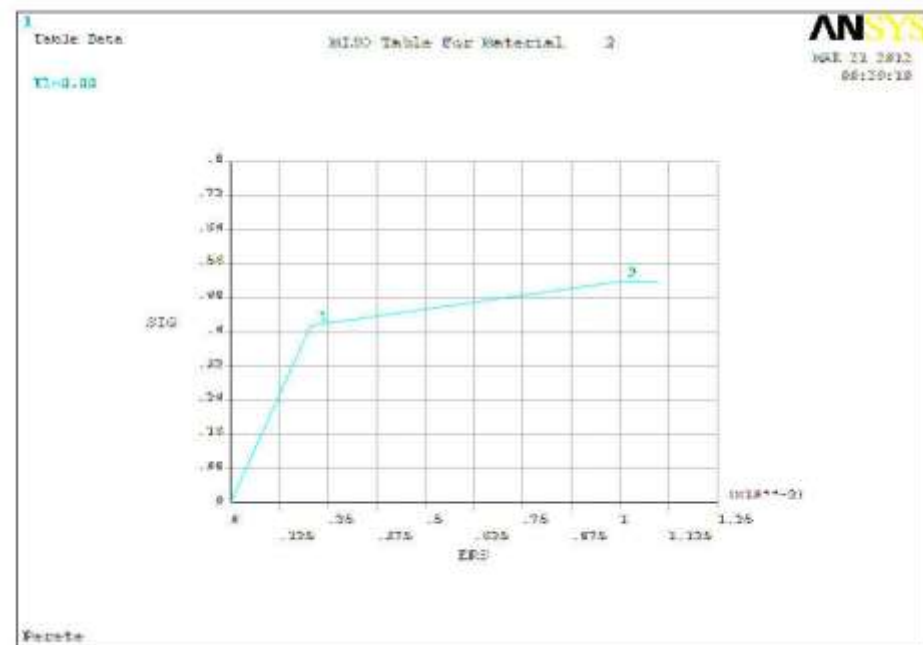
- Pentru a modela simetria sunt introduse conditii de margine in deplasari:  $UX=0$  si  $UZ=0$
- Placa de sprijin:  $UY=0$  si  $UZ=0$
- Incarcarea este aplicata concentrat la nodurile placii de incarcare



# GRINDA DE BETON ARMAT(continuare)

## Otel beton

|                                    |            |
|------------------------------------|------------|
| Modul de elasticitate $E_a$        | 199900 MPa |
| Modul tangent $E_t$                | 12930 MPa  |
| Efort curgere $f_y$                | 413.7 MPa  |
| Deformatia la curgere $\epsilon_0$ | 0.00207    |
| Deformatia ultima $\epsilon_u$     | 0.1        |



## Beton

|                                     |           |
|-------------------------------------|-----------|
| Modul de elasticitate $E_b$         | 27230 MPa |
| Rezistenta compresiune $f_c$        | 33.1 MPa  |
| Limita elastica                     | 9.71 MPa  |
| Deformatia elastica $\epsilon_{b0}$ | 0.00036   |
| Deformatia ultima $\epsilon_{bu}$   | 0.0036    |

# GRINDA DE BETON ARMAT(continuare)

## REZULTATE

Se vor evidenția 3 aspecte:

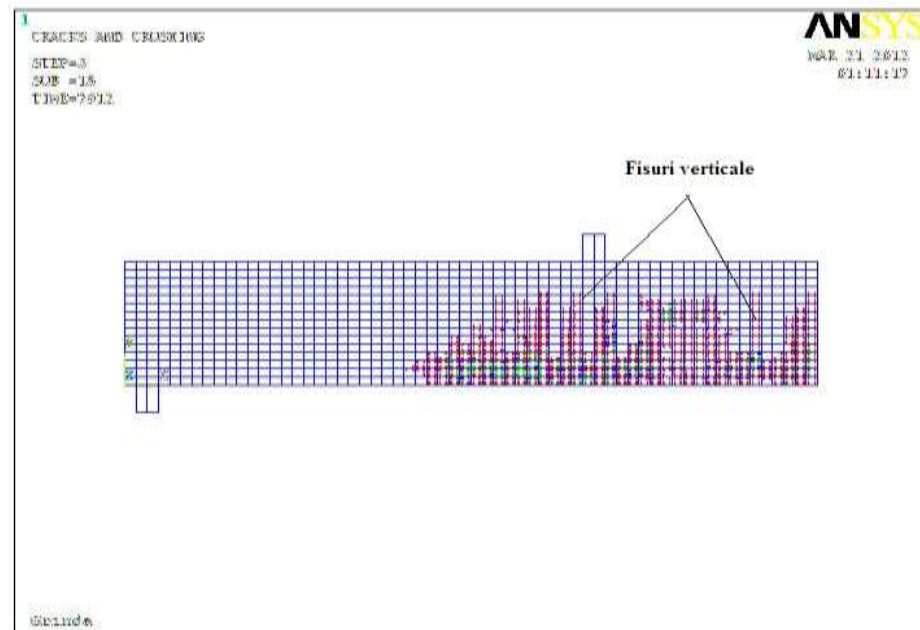
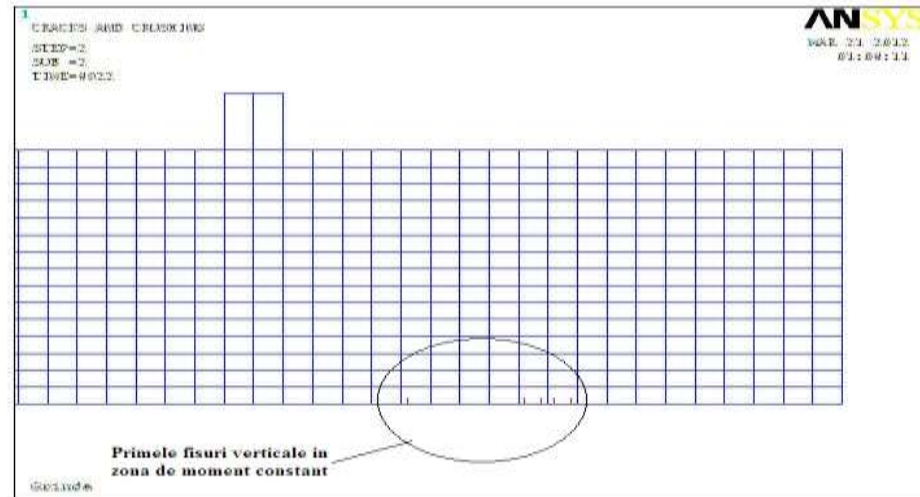
- Fisurarea initială a grinzi.
- Inițierea curgerii în armatura.
- Limita de rupere.

### Fisurarea initială a grinzi

- Fisuri verticale în zona de moment constant la o valoare a încărcării  $P=21.9 \text{ kN}$
- Testele experimentale au furnizat o valoare  $P=20 \text{ kN}$
- Forța de fisurare calculată manual:  $P=23 \text{ kN}$

### Stadiu intermediar fisuri

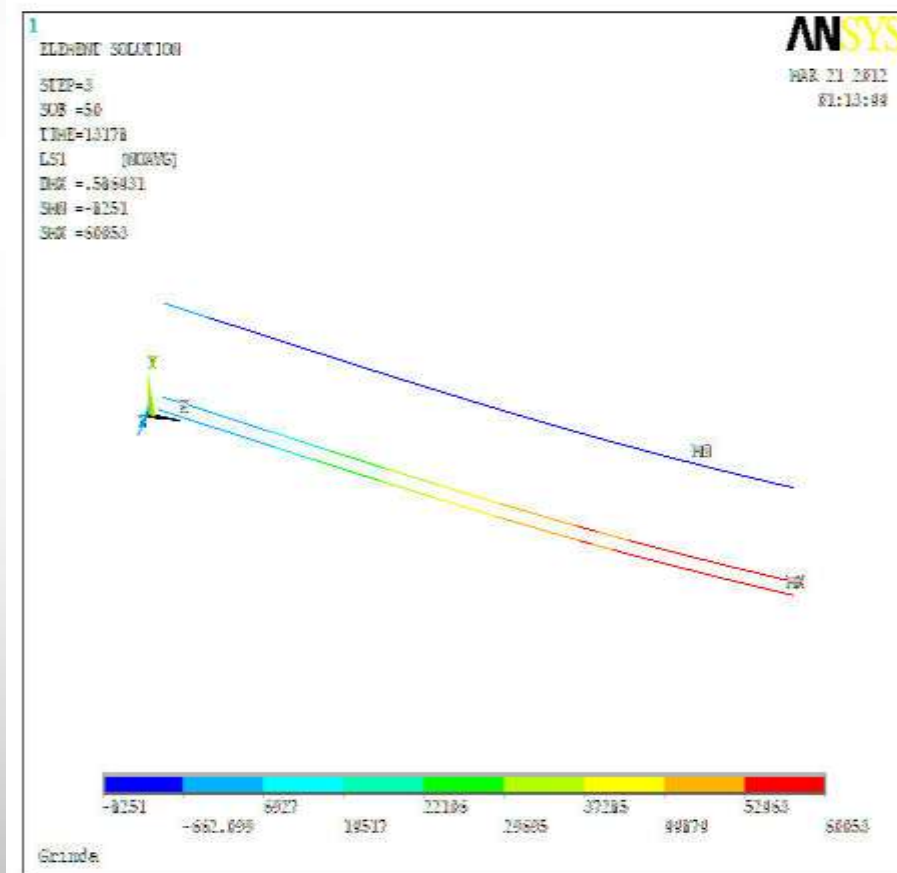
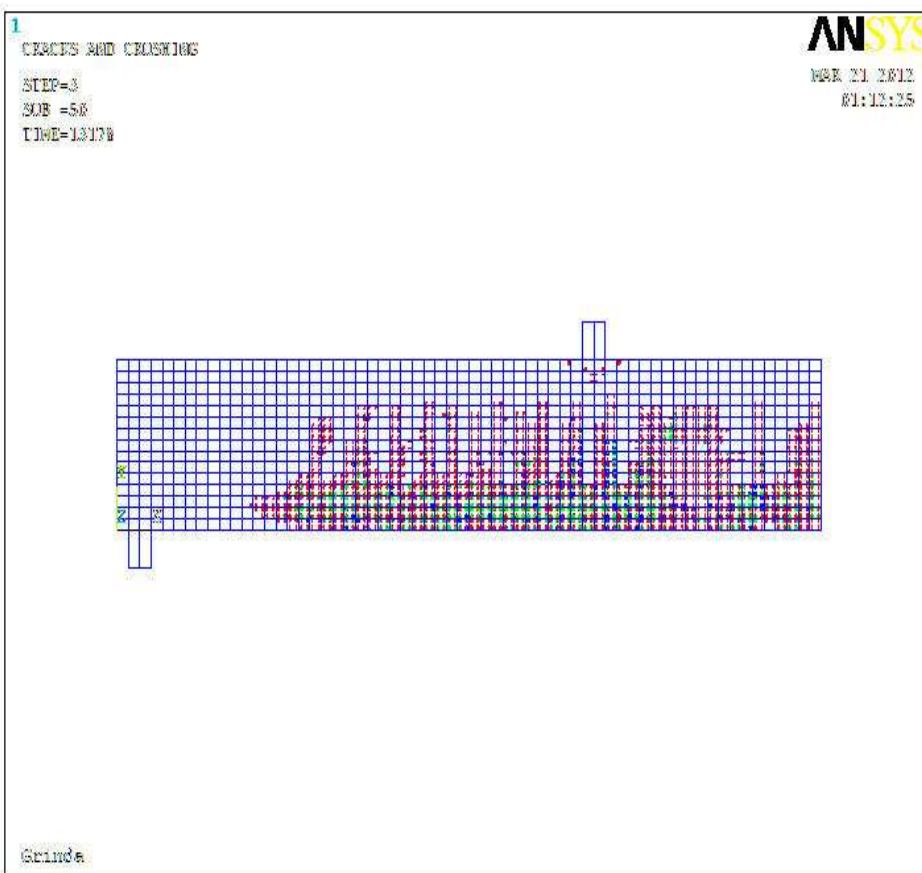
- Fisurile verticale se extind pe înălțimea grinzi și spre reazeme
- Apar fisuri diagonale



# GRINDA DE BETON ARMAT(continuare)

## Initierea curgerii in armatura

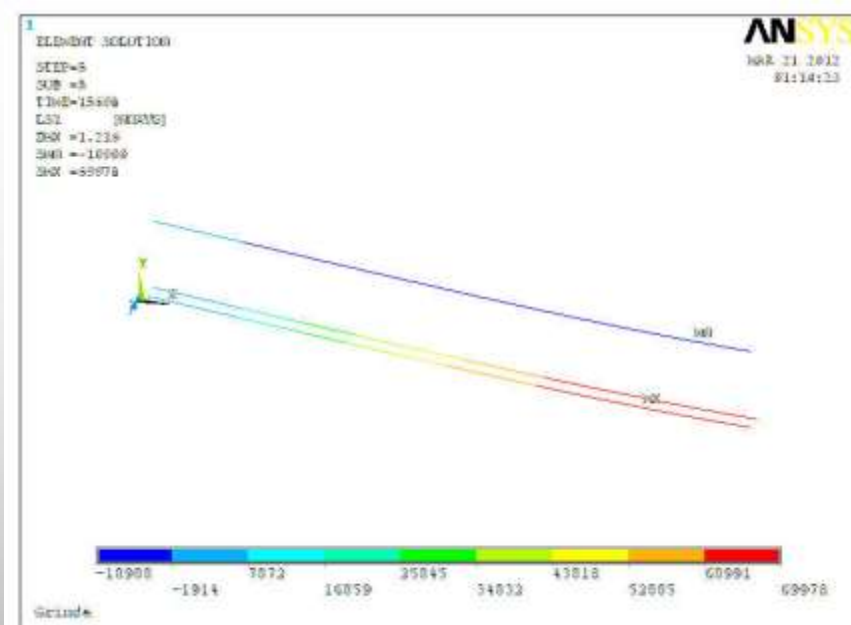
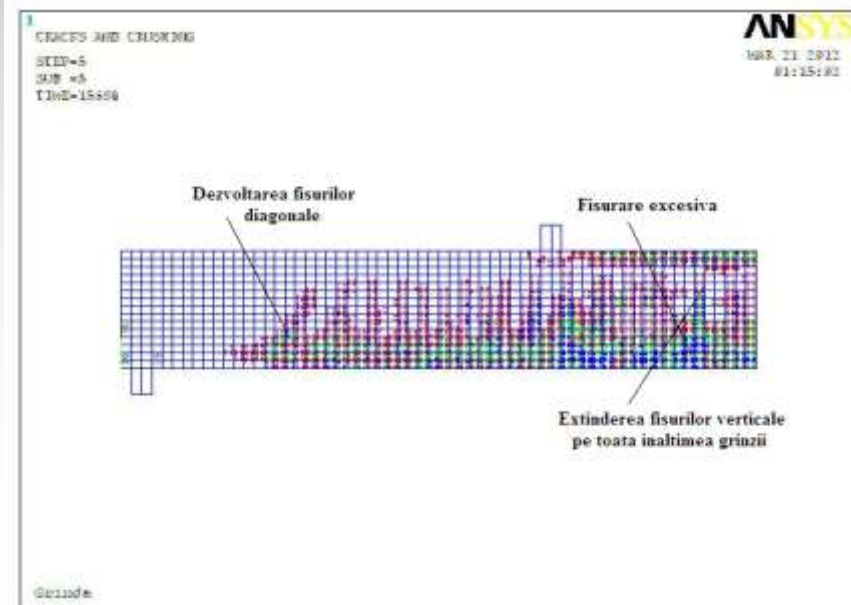
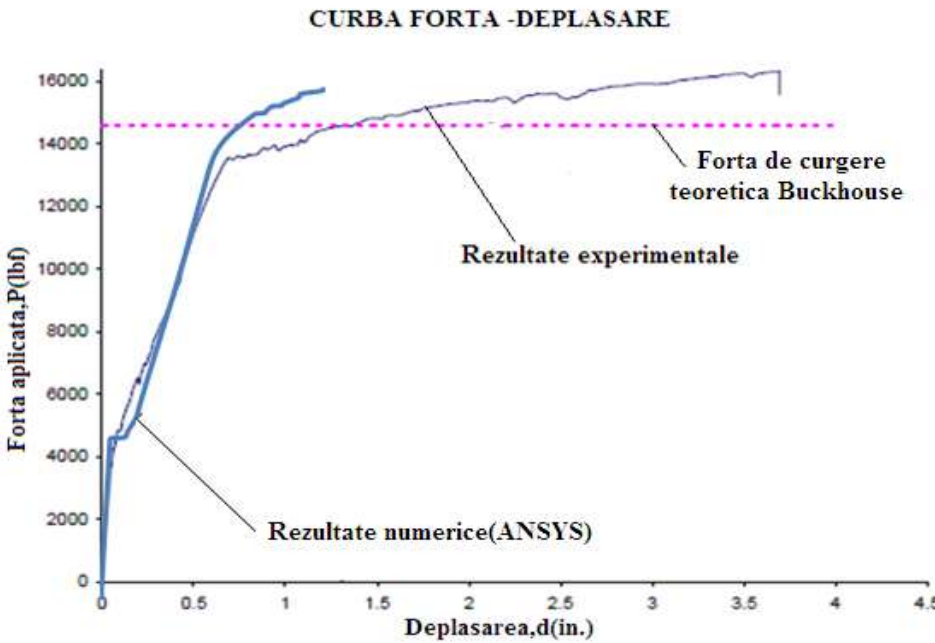
- Curgerea in armatura apare la o valoare a incarcarii  $P_y=59$  kN
- Testele experimentale au furnizat o valoare a fortei de curgere  $P_y=60$  kN
- Forta de curgere calculata simplificat  $P_y=62$  kN



# GRINDA DE BETON ARMAT(continuare)

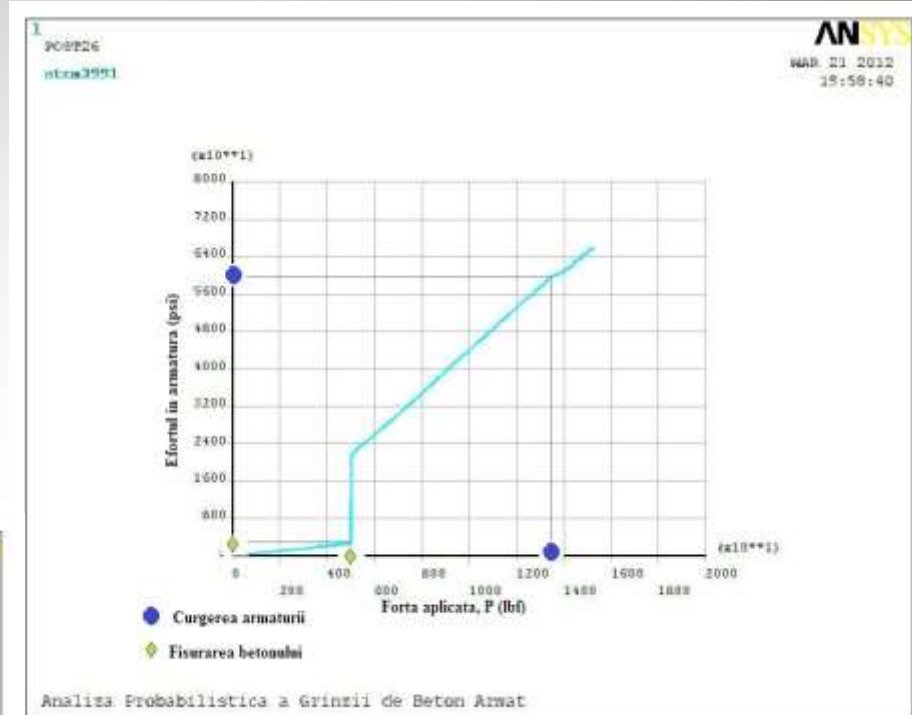
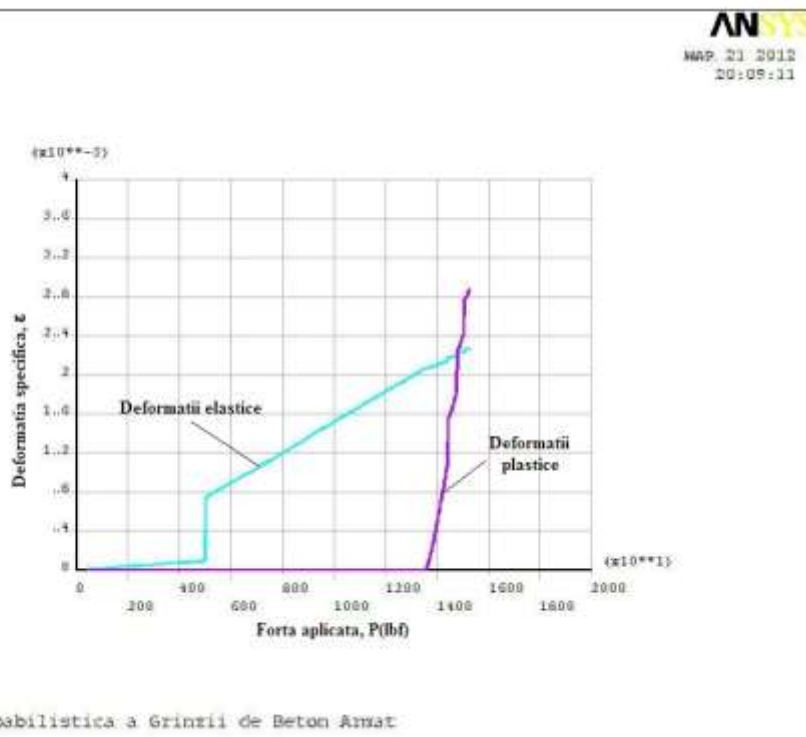
## Limita de rupere a grinzelor

- Ruperea se produce la o valoare a forței  $P_u=70\text{ kN}$
- Forța ultima rezultată din testele experimentale este  $P_u=73\text{ kN}$
- Efortul în armătura longitudinală corespunzător încărcării ultime este 483 MPa
- Deplasarea maximă a grinzelor :  $d=25\text{ mm}$



# GRINDA DE BETON ARMAT(continuare)

- Dezvoltarea eforturilor in armatura pe masura cresterii fortele aplicate



- Evolutia deformatiile specifice elastice si plastice in armatura

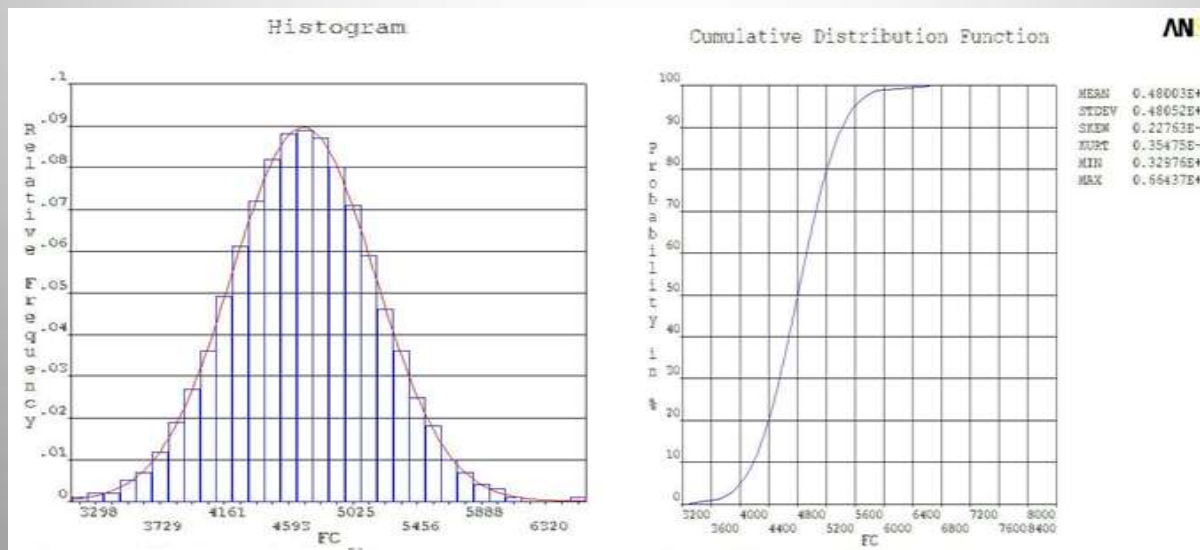
# GRINDA DE BETON ARMAT(continuare)

## ANALIZA PROBABILISTICA

- S-a considerat variatia a 5 parametri initiali:

| Variabila | Distributie | Valoarea medie MPa | Abaterea standard MPa | Coeficient variatie |
|-----------|-------------|--------------------|-----------------------|---------------------|
| fc        | Gaussian    | 33.1               | 3.31                  | 2.57583             |
| ft        | Gaussian    | 3.31               | 0.3972                | 2.57583             |
| Ea        | Gaussian    | 199900             | 7996                  | 2.57583             |
| Eb        | Gaussian    | 27230              | 2178.4                | 2.57583             |
| fy        | Gaussian    | 413.70             | 20.685                | 2.57583             |

- Rezultate evidențiate privind doi parametri definiitori: - variatia forței la care apare curgerea în armatura  
- variatia deplasării



# GRINDA DE BETON ARMAT(continuare)

| Număr<br>iterație | Variabile de intrare |           |           |           |           | Variabile rezultate |                     |
|-------------------|----------------------|-----------|-----------|-----------|-----------|---------------------|---------------------|
|                   | fc<br>MPa            | ft<br>MPa | Ea<br>MPa | Eb<br>MPa | fy<br>MPa | Deplasare<br>mm     | Forță curgere<br>kN |
| 1                 | 33.10                | 3.31      | 199900.00 | 27230.00  | 413.70    | -25.00              | 58.74               |
| 2                 | 24.57                | 2.46      | 199900.00 | 27230.00  | 413.70    | -20.41              | 58.54               |
| 3                 | 41.62                | 4.16      | 199900.00 | 27230.00  | 413.70    | -26.33              | 58.79               |
| 4                 | 33.10                | 3.31      | 199900.00 | 27230.00  | 413.70    | -28.49              | 58.37               |
| 5                 | 33.10                | 3.31      | 199900.00 | 27230.00  | 413.70    | -24.84              | 58.74               |
| 6                 | 33.10                | 3.31      | 179303.67 | 27230.00  | 413.70    | -28.24              | 58.74               |
| 7                 | 33.10                | 3.31      | 220496.33 | 27230.00  | 413.70    | -25.79              | 58.62               |
| 8                 | 33.10                | 3.31      | 199900.00 | 21618.81  | 413.70    | -28.37              | 58.49               |
| 9                 | 33.10                | 3.31      | 199900.00 | 32841.19  | 413.70    | -28.05              | 59.11               |
| 10                | 33.10                | 3.31      | 199900.00 | 27230.00  | 360.42    | -23.04              | 51.37               |
| 11                | 33.10                | 3.31      | 199900.00 | 27230.00  | 466.98    | -28.44              | 66.05               |
| 12                | 28.83                | 2.88      | 189601.83 | 24424.41  | 440.34    | -26.82              | 62.15               |
| 13                | 37.36                | 3.74      | 189601.83 | 24424.41  | 387.06    | -27.22              | 54.92               |
| 14                | 28.83                | 2.88      | 189601.83 | 24424.41  | 387.06    | -23.03              | 55.23               |
| 15                | 37.36                | 3.74      | 189601.83 | 24424.41  | 440.34    | -27.33              | 62.42               |
| 16                | 28.83                | 2.88      | 210198.17 | 24424.41  | 387.06    | -25.17              | 55.12               |
| 17                | 37.36                | 3.74      | 210198.17 | 24424.41  | 440.34    | -27.77              | 62.56               |
| 18                | 28.83                | 2.88      | 210198.17 | 24424.41  | 440.34    | -27.34              | 62.93               |
| 19                | 37.36                | 3.74      | 210198.17 | 24424.41  | 387.06    | -23.55              | 55.86               |
| 20                | 28.83                | 2.88      | 189601.83 | 30035.59  | 387.06    | -22.19              | 55.12               |
| 21                | 37.36                | 3.74      | 189601.83 | 30035.59  | 440.34    | -26.84              | 62.95               |
| 22                | 28.83                | 2.88      | 189601.83 | 30035.59  | 440.34    | -24.12              | 63.06               |
| 23                | 37.36                | 3.74      | 189601.83 | 30035.59  | 387.06    | -21.49              | 55.62               |
| 24                | 28.83                | 2.88      | 210198.17 | 30035.59  | 440.34    | -27.71              | 62.15               |
| 25                | 37.36                | 3.74      | 210198.17 | 30035.59  | 387.06    | -24.88              | 54.69               |
| 26                | 28.83                | 2.88      | 210198.17 | 30035.59  | 387.06    | -21.71              | 55.00               |
| 27                | 37.36                | 3.74      | 210198.17 | 30035.59  | 440.34    | -24.68              | 62.42               |

➤Metoda de analiza:  
**Central Composite Design**

➤**27 de experimente** pentru  
variația celor 5 parametri

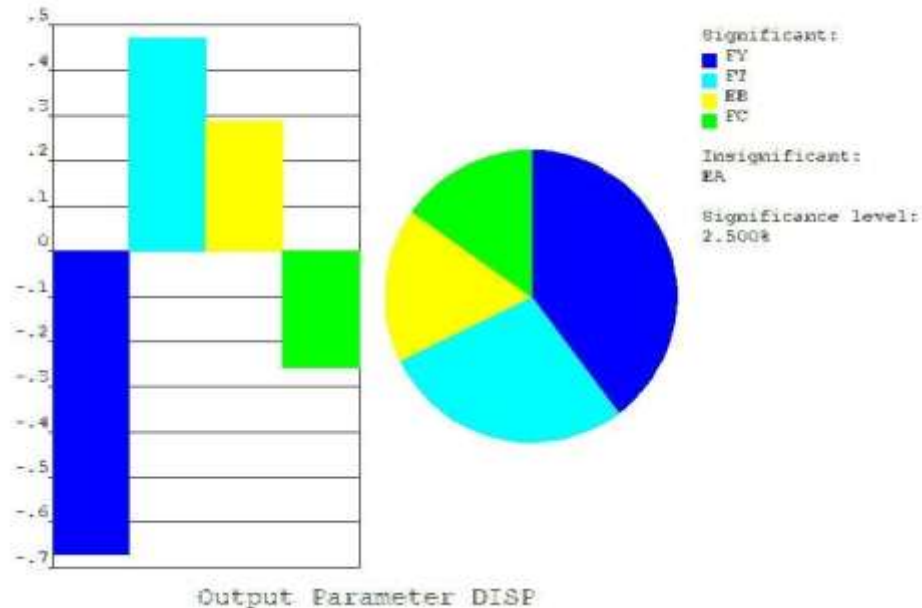
# GRINDA DE BETON ARMAT(continuare)

## Rezultate-deplasare

- Influenta majora:  $f_y$
- Alti parametri influenti:  $f_t, E_b, f_c$
- $E_a$  nu influenteaza deplasarea

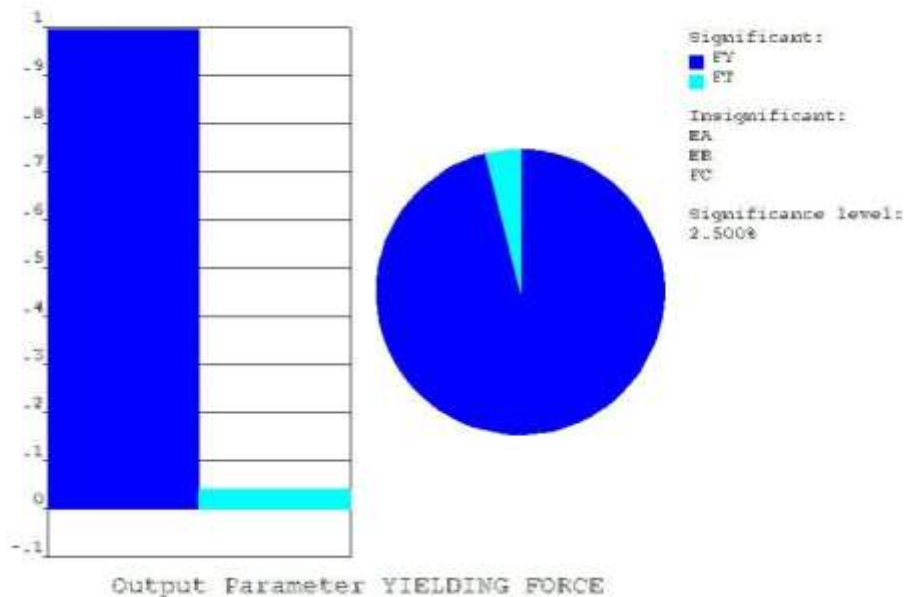
Rank-Order Correlation Sensitivities

ANSYS



Rank-Order Correlation Sensitivities

ANSYS



## Rezultate-forta de curgere in armatura

- Influenta majora:  $f_y$
- Alti parametri influenti:  $f_t$
- $E_a, E_b$  si  $f_c$  nu influenteaza forta de curgere

# GRINDA DE BETON ARMAT(continuare)

## DEPLASAREA

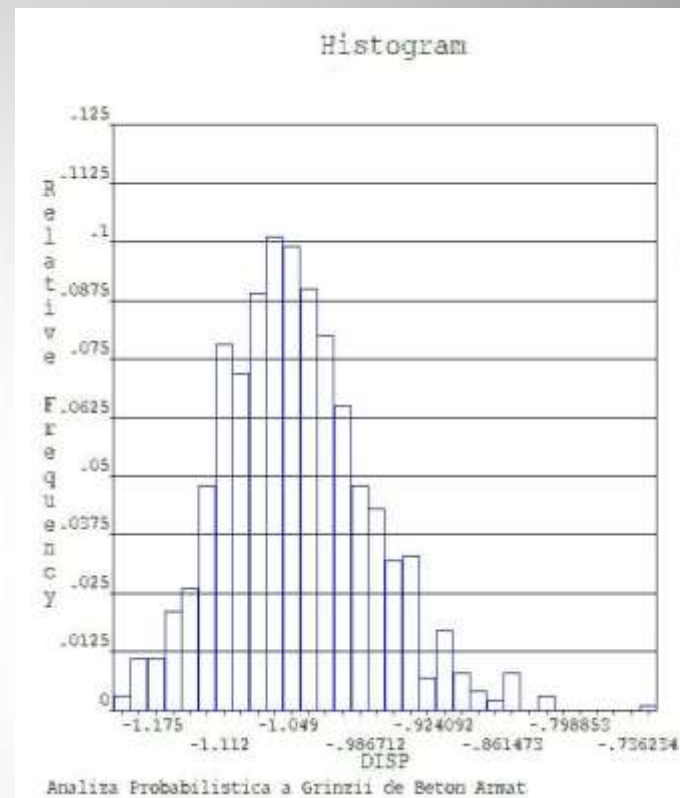
- Histograma si functia de distributie

A rezultat :

- valoarea medie de 25 mm
- Valoarea minima 17.2 mm
- Valoarea maxima 28 mm



ANSYS



|       |              |
|-------|--------------|
| MEAN  | -0.10143E+01 |
| STDEV | 0.67635E-01  |
| SKEM  | 0.52119E+00  |
| KURT  | 0.70941E+00  |
| MIN   | -0.11746E+01 |
| MAX   | -0.68927E+00 |

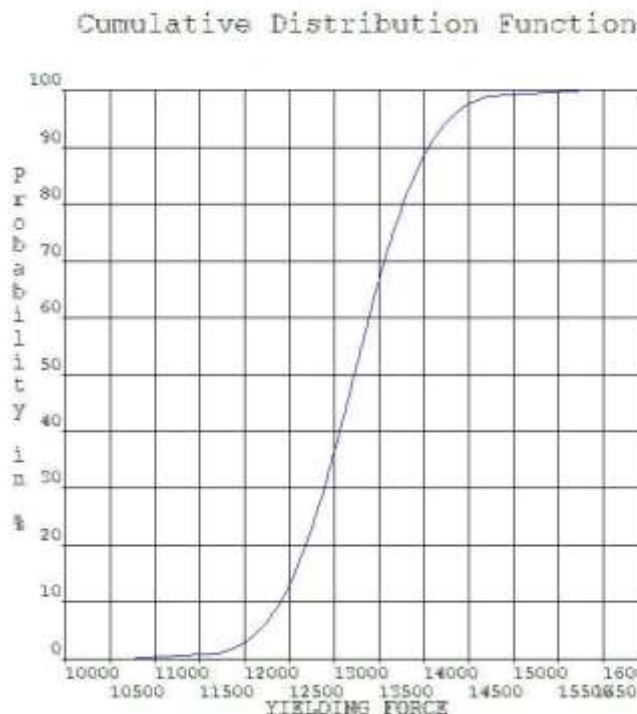
# GRINDA DE BETON ARMAT(continuare)

## FORTA DE CURGERE IN ARMATURA

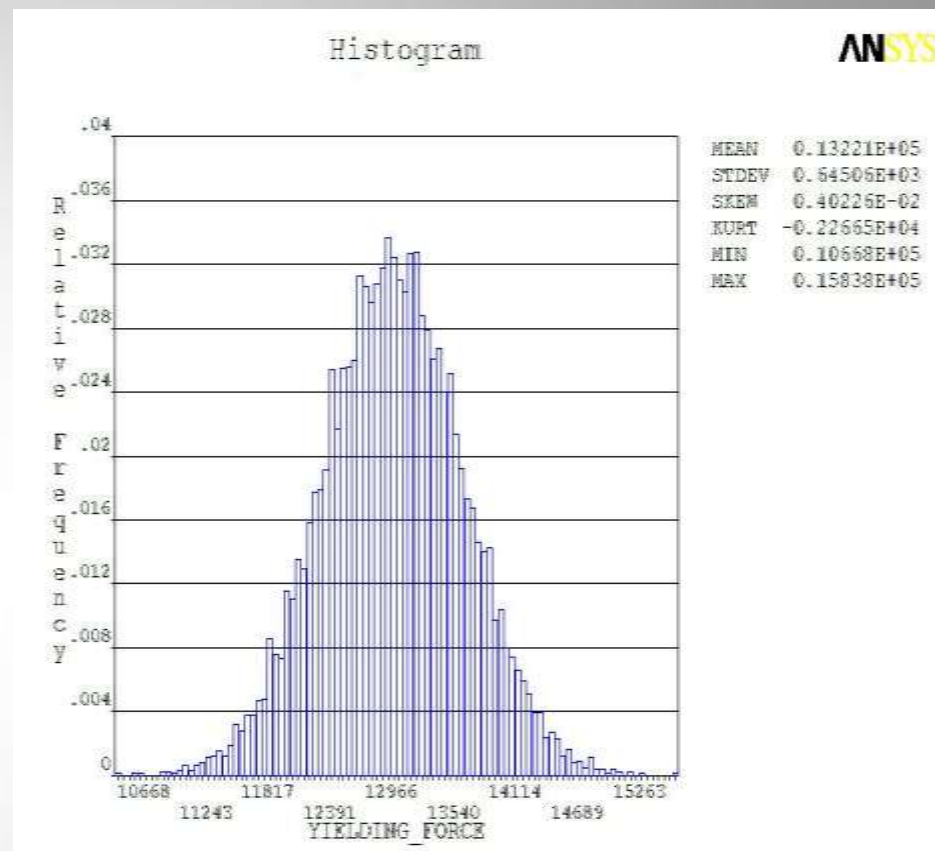
- Histograma si functia de distributie

A rezultat :

- valoarea medie de 59 kN
- Valoarea minima 48 kN
- Valoarea maxima 70.5 kN



ANSYS  
MEAN 0.13221E+05  
STDEV 0.64506E+03  
SKEN 0.40226E-02  
KURT -0.22565E+04  
MIN 0.10568E+05  
MAX 0.15838E+05



# GRINDA DE BETON ARMAT(continuare)

## CONCLUZII

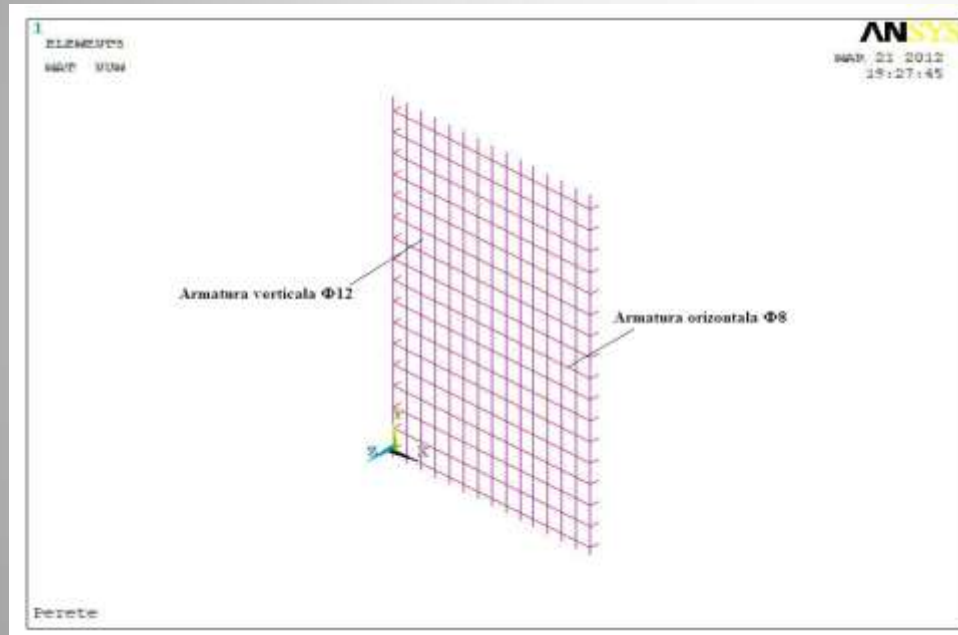
- Rezultatele modelului numeric sunt comparabile cu rezultatele testelor experimentale in ceea ce priveste forta la care fisureaza betonul, forta de curgere a armaturii si forta ultima
- Aparitia, dezvoltarea si traseul fisurilor sunt similare intre rezultatele numerice si experimentale
- **Modelul este corect calibrat si elementele folosite pentru modelare, materialele si caracterisiticile acestora sunt corespunzatoare pentru a modela comportarea elementului de beton armat.**

# PERETE DE BETON ARMAT

ANSYS  
MAP 21 2012  
15:26:23

## CARACTERISTICI

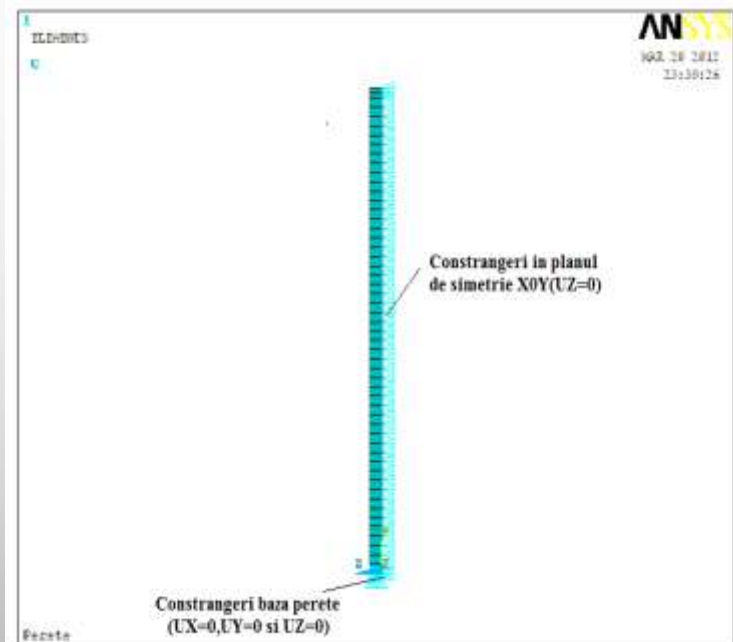
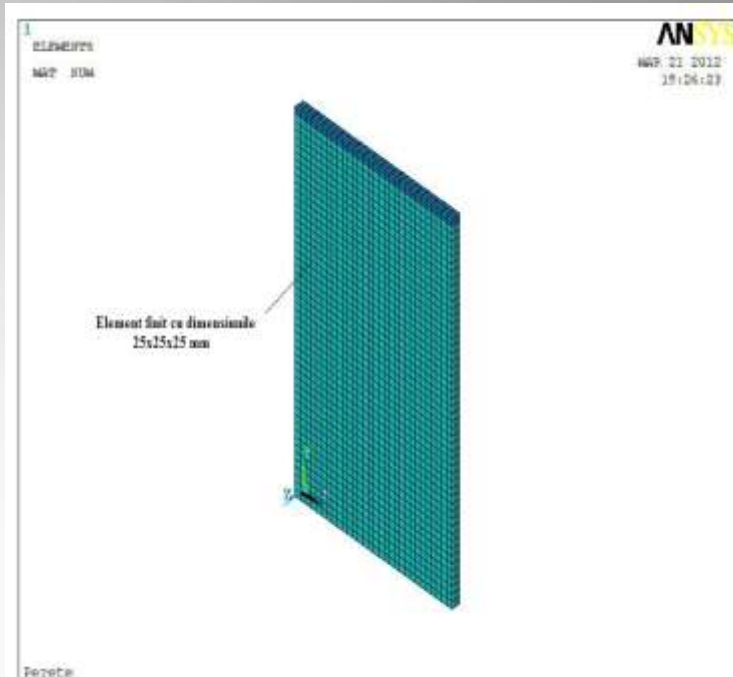
- Dimensiuni: L=1500 mm, l=300 mm, H=2500 mm
- Armare:  $\Phi 12/100$  mm armatura longitudinala si etrieri  $\Phi 8/150$  mm
- Datorita simetriei in planul XOY se modeleaza  $\frac{1}{2}$  din perete
- Dimensiuni elementefinite: 25 mm



➤ Pentru a modela simetria se impun conditii in deplasari:  
 $UZ=0$

➤ Conditii impuse la baza peretelui:  $UX=0$ ,  $UY=0$  si  $UZ=0$

➤ Incarcare: forta orizontala aplica la partea superioara



# PERETE DE BETON ARMAT(continuare)

## REZULTATE

Se vor evidenta 3 aspecte:

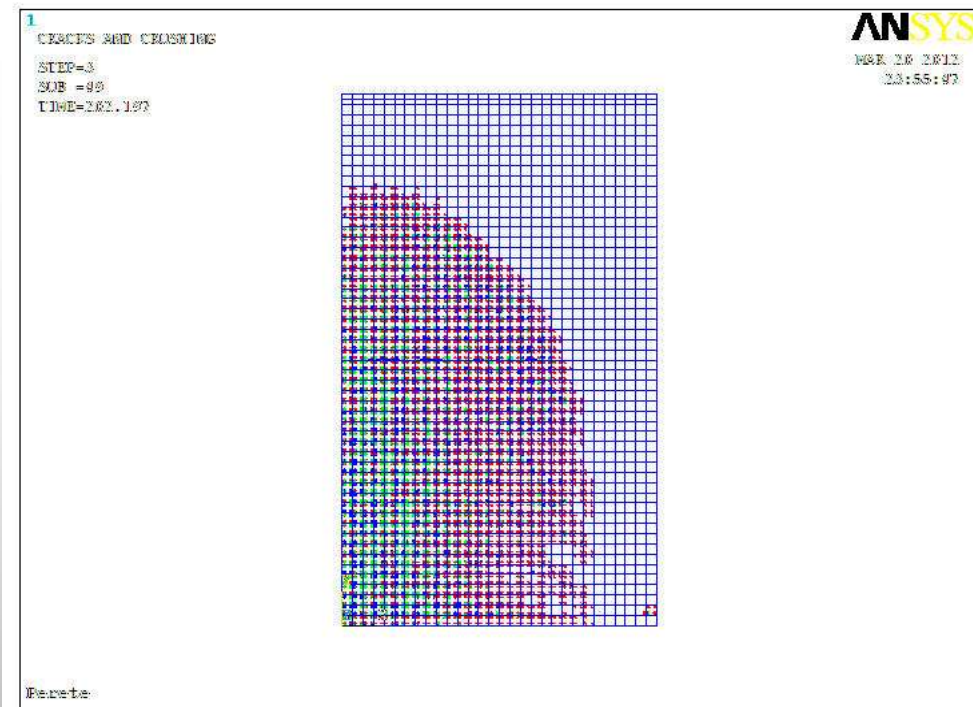
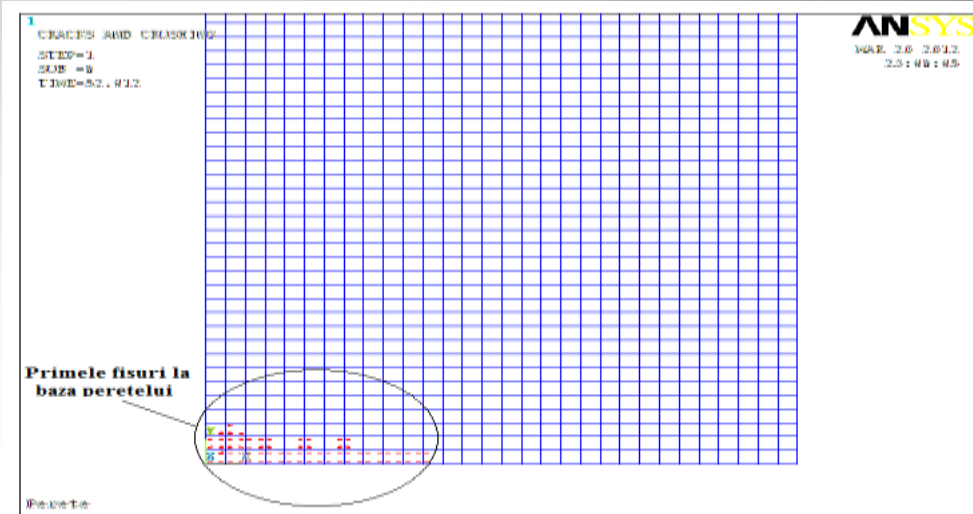
- Fisurarea initiala a peretelui
- Initierea curgerii in armatura
- Limita de rupere

### Fisurarea initiala a peretelui

- Fisuri la baza peretelui in zona intinsa a acestuia la o valoare  $P=50$  kN
- Forta de fisurare calculata manual:  $P=72$  kN

### Stadiu intermediar fisuri

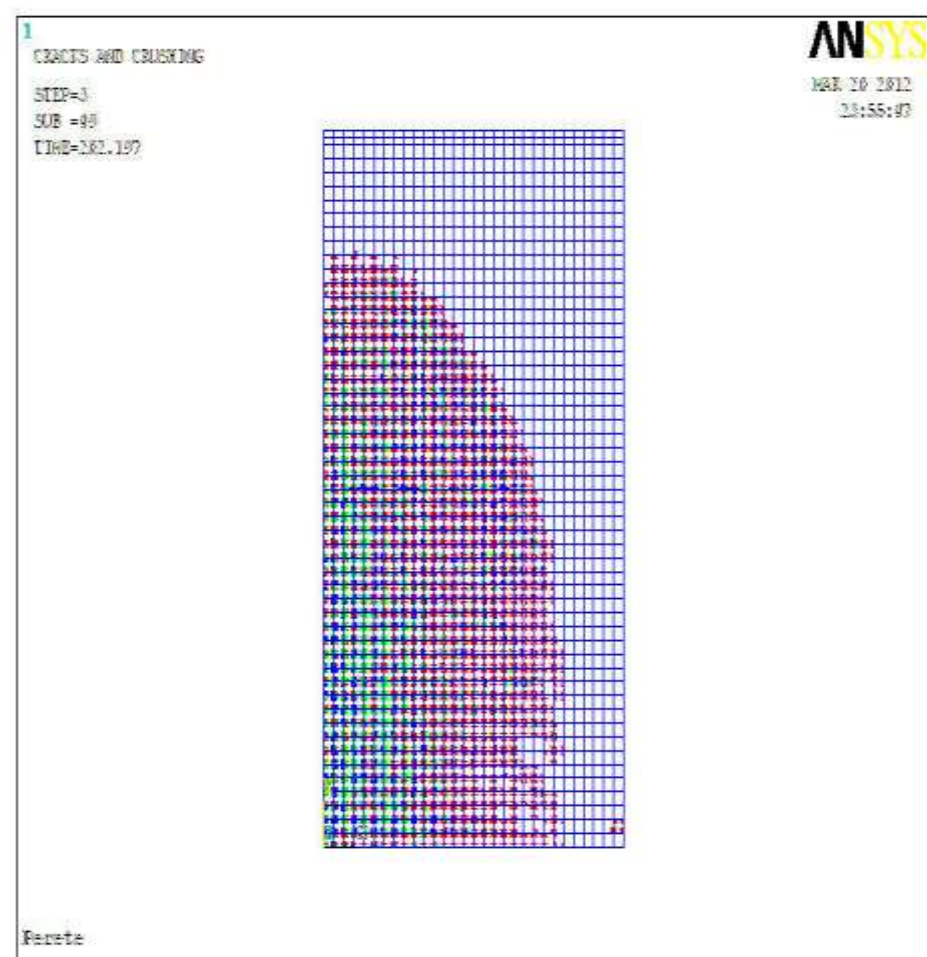
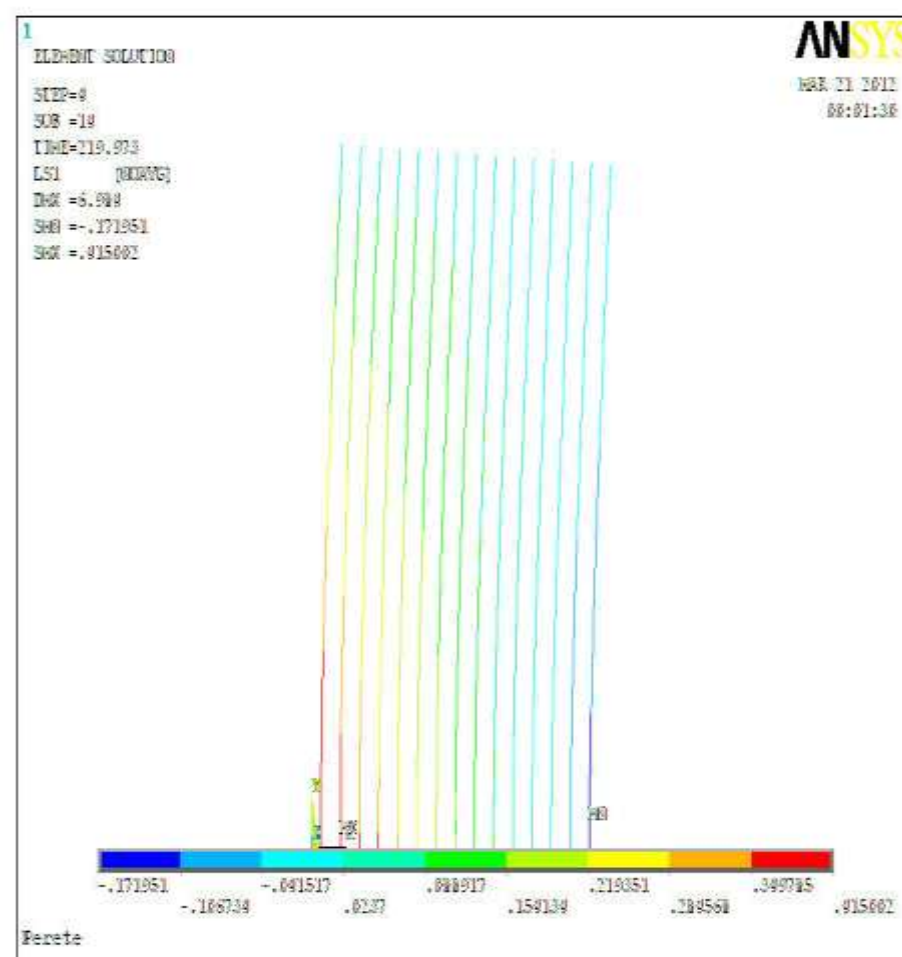
- Fisurile se dezolta pe inaltimea peretelui
- Apaar fisuri in zona comprimata



# PERETE DE BETON ARMAT(continuare)

## Initierea curgerii in armatura

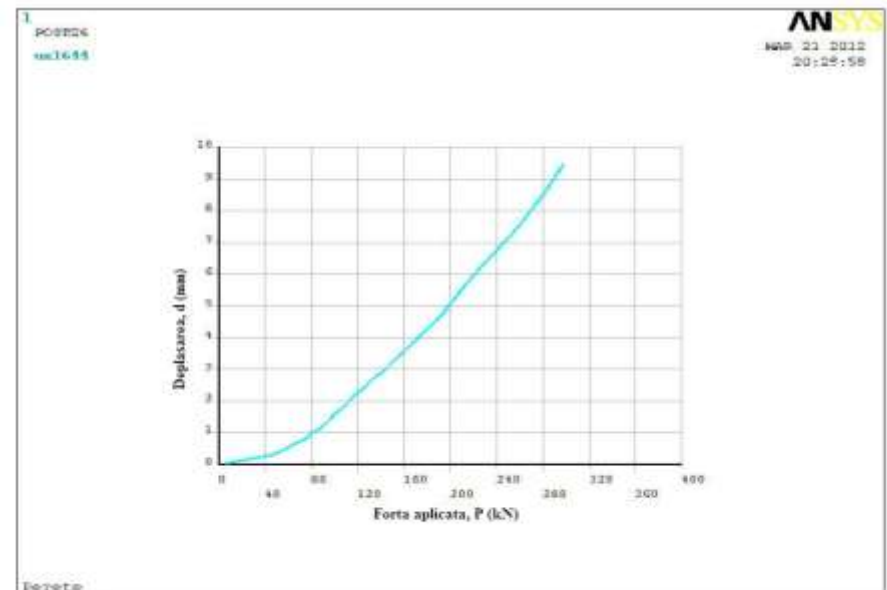
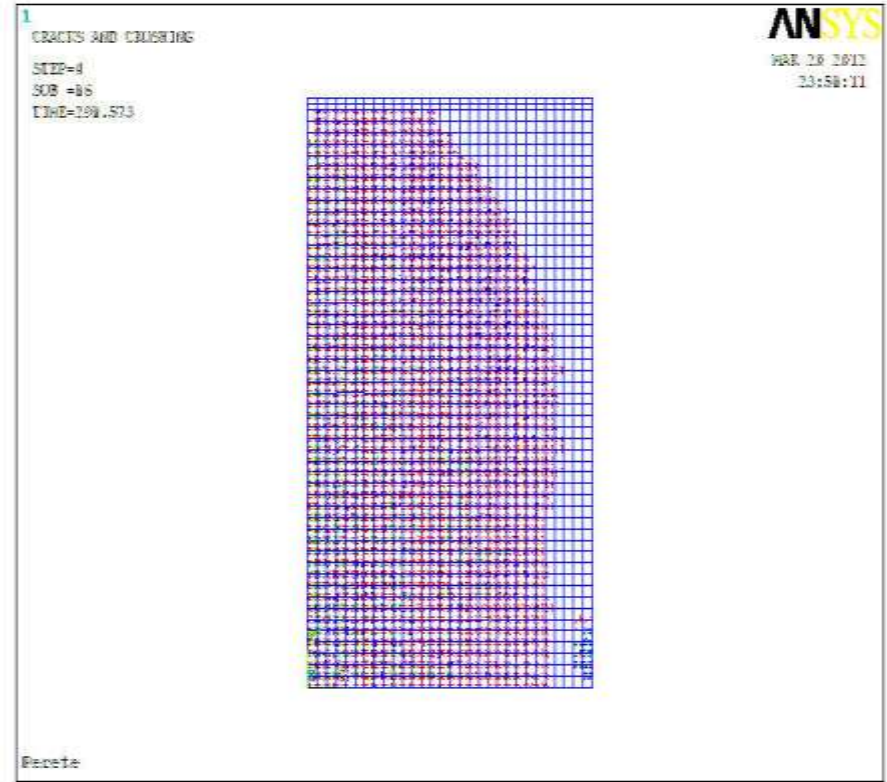
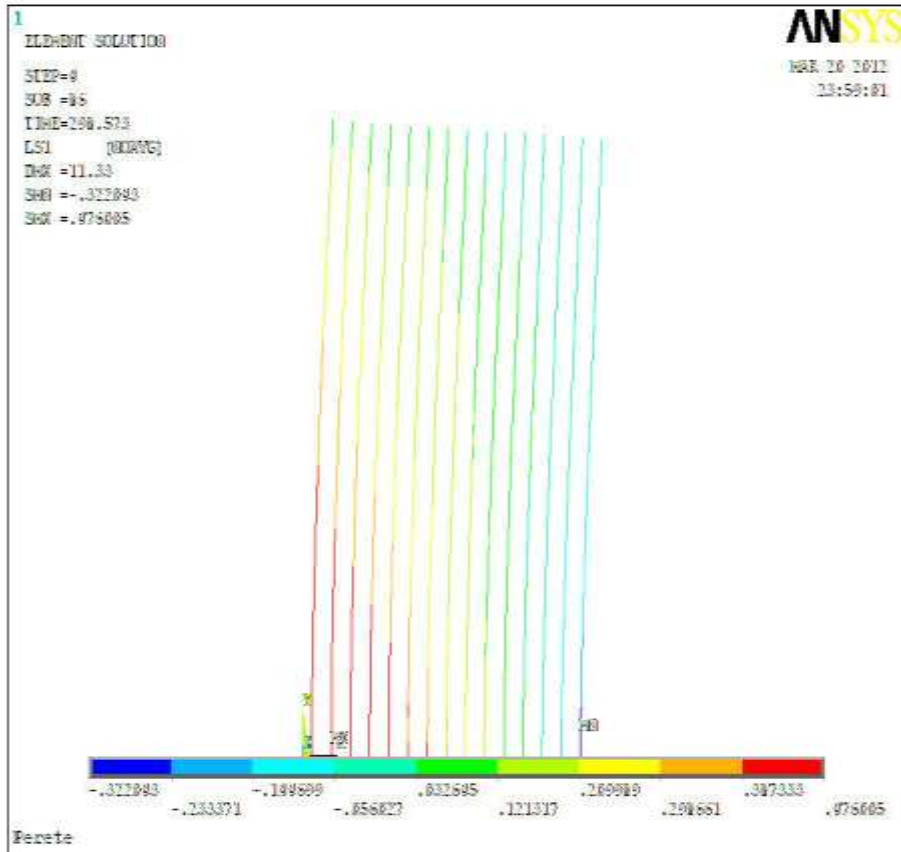
- Curgerea in armatura apare la o valoare a incarcarii  $P_y=220$  kN
- Forta de curgere calculata simplificat  $P_y=210$  kN



# PERETE DE BETON ARMAT

## Limita de rupere a peretelui

- Ruperea se produce la o valoare a forței  $P_u=299$  kN
- Efortul în armatura longitudinală corespunzător încărcării ultime este 476 MPa
- Deplasarea maxima a peretelui :  $d=10$  mm



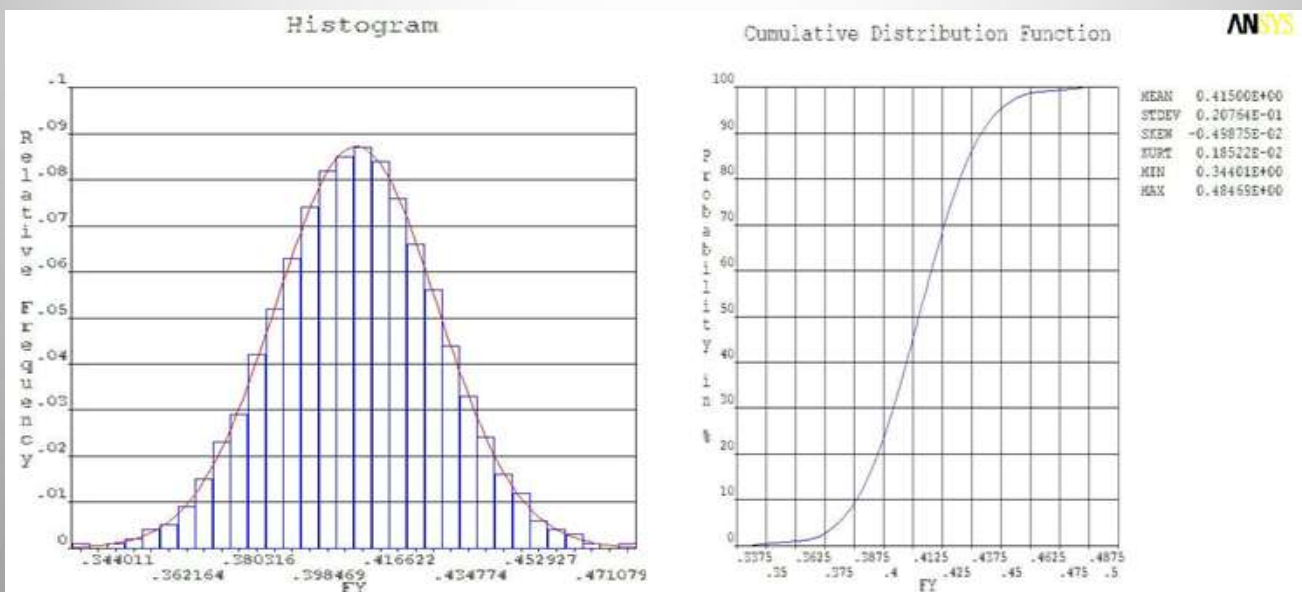
# PERETE DE BETON ARMAT(continuare)

## ANALIZA PROBABILISTICA

- S-a considerat variatia a 5 parametri initiali:

| Variabila | Distributie | Valoarea medie MPa | Abaterea standard MPa | Coeficient variatie |
|-----------|-------------|--------------------|-----------------------|---------------------|
| fc        | Gaussian    | 33                 | 3.3                   | 2.57583             |
| ft        | Gaussian    | 3.3                | 0.396                 | 2.57583             |
| Ea        | Gaussian    | 200670             | 8026.8                | 2.57583             |
| Eb        | Gaussian    | 27220              | 2177.6                | 2.57583             |
| fy        | Gaussian    | 415.00             | 20.75                 | 2.57583             |

- Rezultate evidențiate în urma analizei:
  - variatia forței la care apare curgerea în armătura
  - variatia deplasării



# PERETE DE BETON ARMAT(continuare)

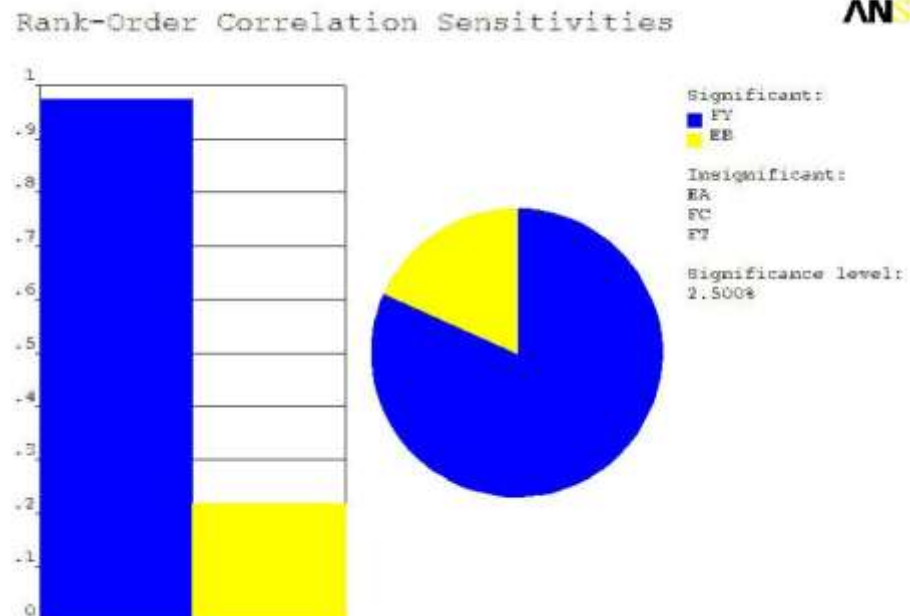
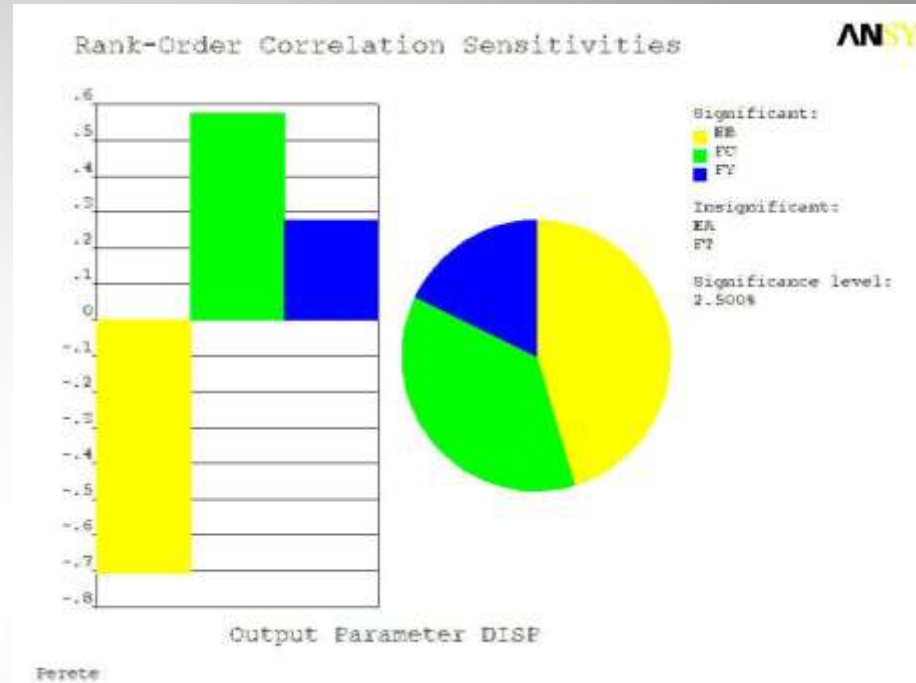
| Numar iteratie | Variabile de intrare |        |           |          |         | Variabile rezultate |                  |
|----------------|----------------------|--------|-----------|----------|---------|---------------------|------------------|
|                | fc MPa               | ft MPa | Ea MPa    | Eb MPa   | fy MPa  | Deplasare mm        | Forță curgere kN |
| 1              | 33.000               | 3.300  | 200670.00 | 27220.00 | 415.000 | 7.09                | 219.97           |
| 2              | 33.000               | 3.300  | 179994.33 | 27220.00 | 415.000 | 6.84                | 224.34           |
| 3              | 33.000               | 3.300  | 221345.67 | 27220.00 | 415.000 | 6.84                | 215.61           |
| 4              | 33.000               | 3.300  | 200670.00 | 21610.87 | 415.000 | 8.59                | 210.15           |
| 5              | 33.000               | 3.300  | 200670.00 | 32829.13 | 415.000 | 6.04                | 224.34           |
| 6              | 24.500               | 3.300  | 200670.00 | 27220.00 | 415.000 | 4.90                | 214.56           |
| 7              | 41.500               | 3.300  | 200670.00 | 27220.00 | 415.000 | 7.64                | 218.60           |
| 8              | 33.000               | 2.280  | 200670.00 | 27220.00 | 415.000 | 6.53                | 219.97           |
| 9              | 33.000               | 4.320  | 200670.00 | 27220.00 | 415.000 | 6.45                | 222.16           |
| 10             | 33.000               | 3.300  | 200670.00 | 27220.00 | 361.552 | 6.66                | 191.74           |
| 11             | 33.000               | 3.300  | 200670.00 | 27220.00 | 468.448 | 6.89                | 248.16           |
| 12             | 28.750               | 2.790  | 190332.17 | 24415.44 | 441.724 | 8.62                | 228.46           |
| 13             | 28.750               | 2.790  | 211007.83 | 24415.44 | 388.276 | 6.95                | 200.07           |
| 14             | 28.750               | 2.790  | 190332.17 | 30024.56 | 388.276 | 6.38                | 206.17           |
| 15             | 28.750               | 2.790  | 211007.83 | 30024.56 | 441.724 | 5.55                | 234.22           |
| 16             | 37.250               | 2.790  | 190332.17 | 24415.44 | 388.276 | 7.88                | 205.26           |
| 17             | 37.250               | 2.790  | 211007.83 | 24415.44 | 441.724 | 8.90                | 225.39           |
| 18             | 37.250               | 2.790  | 190332.17 | 30024.56 | 441.724 | 6.91                | 238.20           |
| 19             | 37.250               | 2.790  | 211007.83 | 30024.56 | 388.276 | 6.78                | 209.37           |
| 20             | 28.750               | 3.810  | 190332.17 | 24415.44 | 388.276 | 6.67                | 205.16           |
| 21             | 28.750               | 3.810  | 211007.83 | 24415.44 | 441.724 | 6.91                | 2.38             |
| 22             | 28.750               | 3.810  | 190332.17 | 30024.56 | 441.724 | 6.78                | 234.22           |
| 23             | 28.750               | 3.810  | 211007.83 | 30024.56 | 388.276 | 5.47                | 209.23           |
| 24             | 37.250               | 3.810  | 190332.17 | 24415.44 | 441.724 | 8.74                | 233.54           |
| 25             | 37.250               | 3.810  | 211007.83 | 24415.44 | 388.276 | 7.26                | 198.05           |
| 26             | 37.250               | 3.810  | 190332.17 | 30024.56 | 388.276 | 6.97                | 209.37           |
| 27             | 37.250               | 3.810  | 211007.83 | 30024.56 | 441.724 | 7.00                | 240.53           |

- Metoda de analiza:  
**Central Composite Design**
- **27 de experimente** pentru variația celor 5 parametri

# PERETE DE BETON ARMAT(continuare)

## Rezultate-deplasare

- Influenta majora: Eb
- Alti parametri influenti: fc, fy
- Ea si ft nu influenteaza deplasarea



## Rezultate-forta de curgere In armatura

- Influenta majora: fy
- Alti parametri influenti: Eb
- Ea,ft si fc nu influenteaza forta de curgere

# PERETE DE BETON ARMAT(continuare)

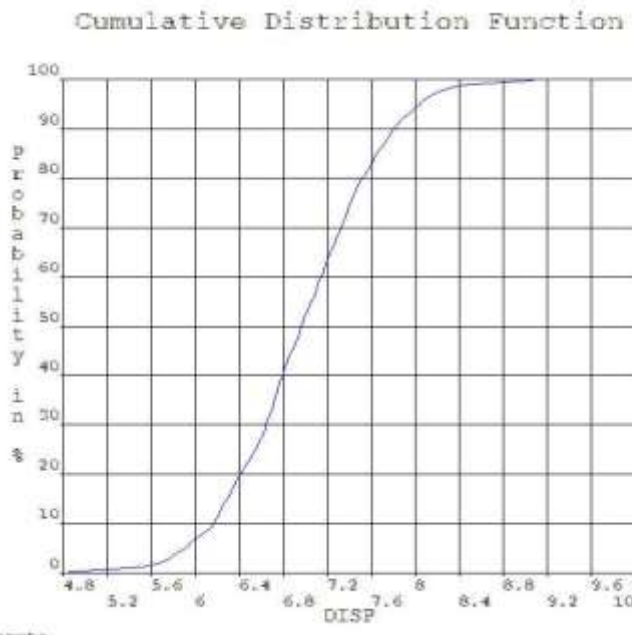
ANSYS

## DEPLASAREA

- Histograma si functia de distributie

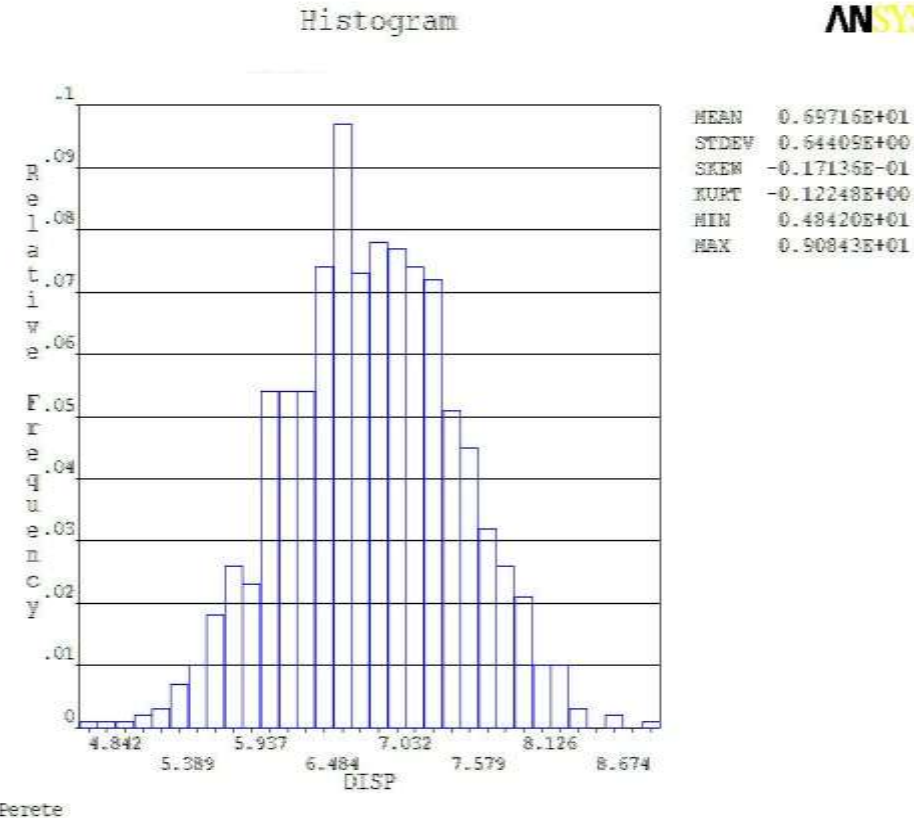
A rezultat :

- valoarea medie de 6.97 mm
- Valoarea minima 4.84 mm
- Valoarea maxima 9.08 mm



ANSYS

| MEAN  | 0.69716E+01  |
|-------|--------------|
| STDEV | 0.64409E+00  |
| SKW   | -0.17136E-01 |
| KURT  | -0.12248E+00 |
| MIN   | 0.48420E+01  |
| MAX   | 0.90843E+01  |



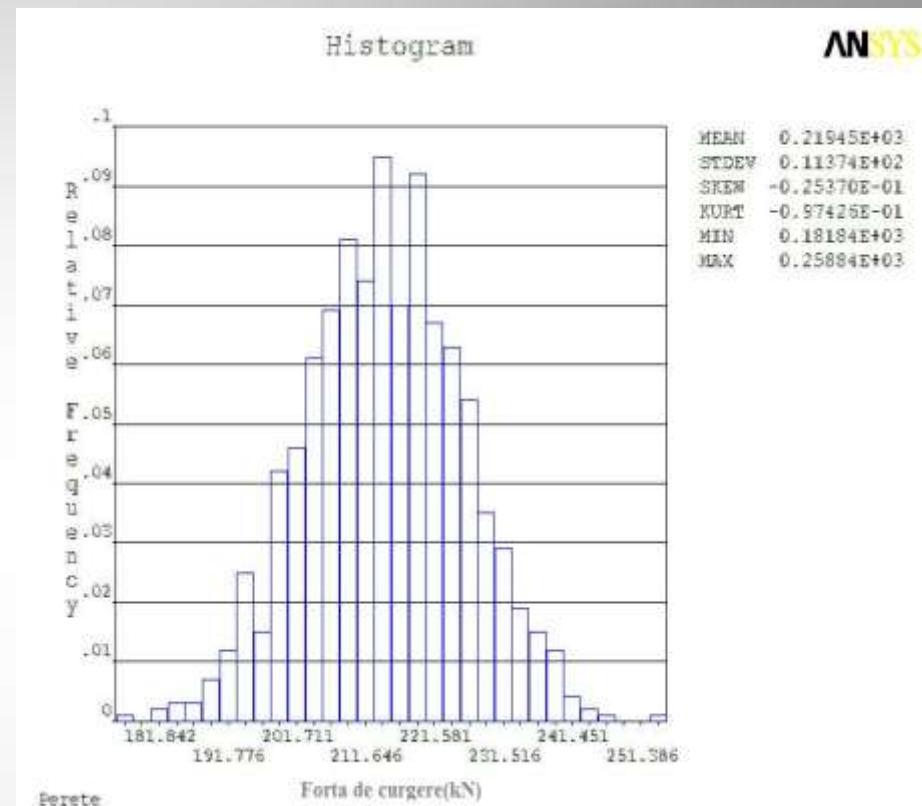
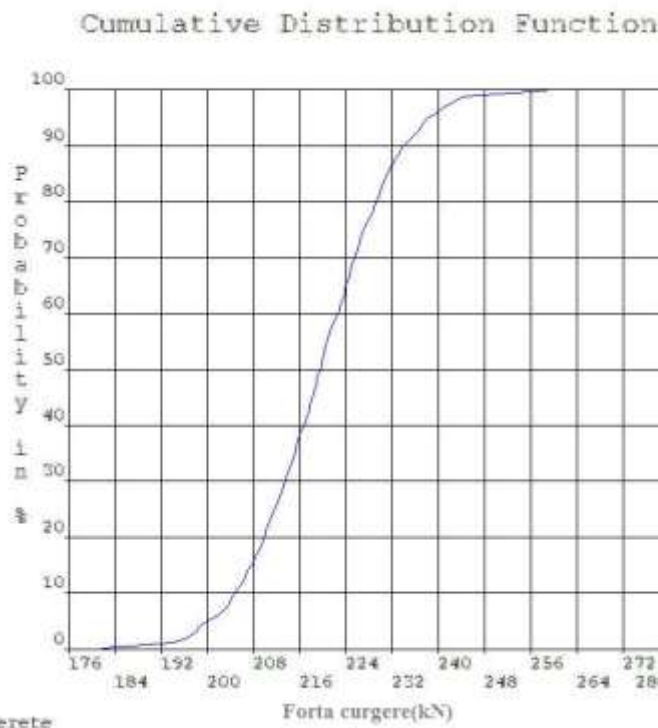
# PERETE DE BETON ARMAT(continuare)

## FORTA DE CURGERE IN ARMATURA

- Histograma si functia de distributie

A rezultat :

- valoarea medie de 219.4 kN
- Valoarea minima 181.8 kN
- Valoarea maxima 258.8 kN



# PERETE DE BETON ARMAT(continuare)

## CONCLUZII

- Rezultatele modelului numeric privind forta de fisurare a betonului si forta de curgere sunt apropiate de cele calculate cu formule simplificate.
- Comportarea de ansamblu a elementului in ceea ce priveste aparitia, dezvoltarea si traseul fisurilor dar si cedarea sunt conform comportarii reale a peretilor de beton armat
- **Modelarea folosind Metoda Elementului Finit furnizeaza rezultate de incredere pentru determinarea comportarii elementului structural.**

# BIBLIOGRAFIE

1. ANSYS – Analysis Software – *Manualul Utilizatorului*
2. Buckhouse – MSc Thesis- *External Flexural Reinforcement of Existing Reinforced Concrete Beams Using Bolted Steel Channel*
3. K.J. William si E.P. Warnke – *Criterii de cedare* (1975)
4. J.G. MacGregor – *Reinforced Concrete Mechanics and Design* (1992 – Prentice-Hall)
5. Kachlaley – *Experimental Tests* (2001)